

一九五六年全国鐵道科学工作会议  
論文報告叢刊  
(45)

机車車輛輪箍輪緣  
电鋸試驗報告

人民鐵道出版社

## 前　　言

1956年全国鐵道科學工作會議征集了技术报告、總結、論文三百余篇。它的內容，包括鐵路業務的各个方面，基本上显示着全体鐵路技术人員和有关高等學校教師們几年來在科学技术方面辛勤劳动的成果。对現場实际工作有参考价值，对鐵路新技术的採用和发展方向，有啓示作用。为此，刊印叢刊，广泛傳流，保存这一阶段內的科技文献，以推動科学的研究的进一步开展。

會議以后，我們对全部文件进行一次整編工作，然后組織部內設計总局、工程总局、工厂管理局、人民鐵道出版社、車務、商务、机務、車輛、工務、電務各局、鐵道科学研究院、北京和唐山鐵道學院、同濟大學、大桥、定型、电務等設計事務所的有关專業同志对每篇內容仔細斟酌審閱，其中对目前鐵路業務有广泛交流意义，或是介紹鐵路新技術方向和系統的經驗總結，將性質相近的文件合訂一冊，單獨發行。为了避免費，凡是其他刊物已經以其他方式刊印过的文件，除特殊必要外，一般都不再刊載。出版順序根據編輯和定稿的先后，排定叢刊號碼，交付印刷，並無主次之分。

苏联鐵道科学代表团在會議期間曾經做过九次学术报告，我們已將文字整理，編入了叢刊。

文件中的論点，只代表作者意見，引用或採用时，还应由採用人根据具体情况選擇判断。

叢刊方式还是一种嘗試，我們缺少經驗，希望讀者提供意見，逐步地改进。

鐵道部技术局

1957年2月

# 机車車輛輪箍輪緣電鋸試驗報告

郭希烈 張景勑

## I. 引言

### II. 試驗所用方法和材料

### III. 試驗結果和分析

- 一、電鋸輪緣時各種因素對於輪箍變形的影響
- 二、各種因素和輪箍熱影響區材質硬化變質的關係
- 三、各種因素對於鋸波裂紋和熱影響區裂紋的影響
- 四、輪箍材質和其晶粒大小與在低溫、常溫的衝擊韌性的關係

### IV. 試驗結果的討論

### V. 結語和建議

## I. 引言

機車車輛的輪箍在運行中，大都產生偏磨耗現象，就是輪箍輪緣較踏面部分磨耗的為多。這種偏磨耗部分，如果採用電鋸堆補，則比完全旋削加工修復的方法可以節省許多輪箍鋼，而使輪箍使用壽命提高到2.3倍左右。因此，電鋸維修輪箍是一種經濟合理的方法。但是，目前各現場電鋸輪緣的質量還達不到要求，存在着嚴重的問題，因而時常發生崩箍的事故。例如1954年，僅據不完全的統計，就發生了崩箍事故100起，其中大部分是由於電鋸輪緣而引起的。這種現象的產生，一方面威脅着行車的安全，一方面則將導致不實行電鋸而代之以完全旋削的方法。這兩種情況，都要使國家遭受到一定程度的損失。

鐵道科學研究院金屬研究組為了解決這個問題，曾進行了一些試驗研究。主要是從以下三個問題着手：即

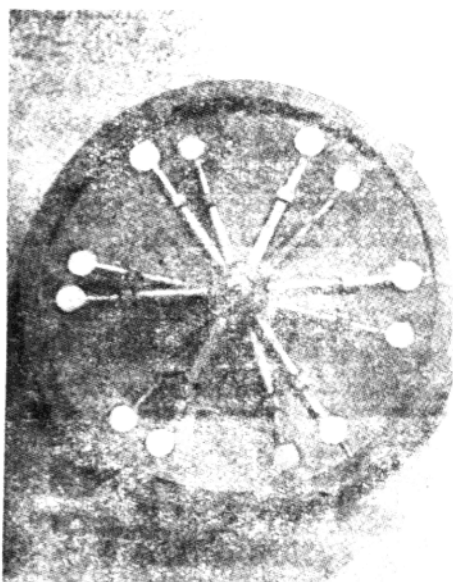
1. 輪箍因電鋸輪緣所產生的變形問題；
2. 輪箍熱影響區材質的硬化變質問題；
3. 鋸波金屬和熱影響區的裂紋問題，

其目的是試圖查明影響這些問題的因素和其規律性，以及現場一般所採用的大電流的一次堆鋸法的危險性，從而進一步提高輪箍輪緣電鋸的質量，以達到減少崩箍的目的。

此外，並進行了輪箍材質和晶粒大小與在低溫、常溫中衝擊韌性關係的試驗。

## II. 試驗所用方法和材料

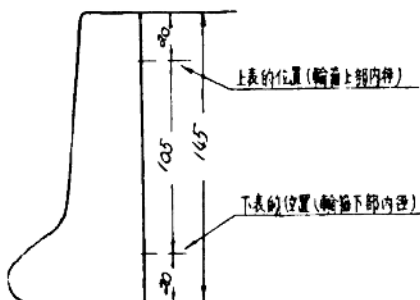
1. 輪箍內徑變形的測定方法。我們採用了如圖一所示的裝置，將12個 $\frac{1}{100}$ 公厘的千分表分成上下二層，裝在各距離輪箍上下端部20公厘處相對稱的六個位置上，作為測定變形量的標準（圖二）。自試鋸開始至整個輪箍鋸後冷卻到室溫為止，都記錄出12個千分表變動的情況。在試鋸過程中，每鋸長300公厘的4條（一次堆鋸為300公厘的一段）



圖一 測定輪緣內部變形的裝置

后記錄一次；試鋸終了冷卻時則每隔30分鐘記錄一次。

2. 所用輪箍和鋸條。除去個別輪箍（例如試驗輪箍厚度對於變形影響的厚輪箍）外，均为日本住友公司製造的使用過限或有部分缺陷但不妨礙試驗的客貨車輪箍，其化學成分和機械性能如表一所列。



圖二 上下二層十分長放的位置

## 輪箍的化學成分和機械性能

表一

碳 (%)	矽 (%)	錳 (%)	磷 (%)	硫 (%)	拉力(公斤/公厘 <sup>2</sup> )	伸長(50公厘) (%)	斷面 收縮率 (%)	硬度 (R <sub>c</sub> )
0.63	0.28	0.84	0.03	0.03	83.6	11.7	12.9	約15

## 各種堆鋸方法的解釋（參看圖三）

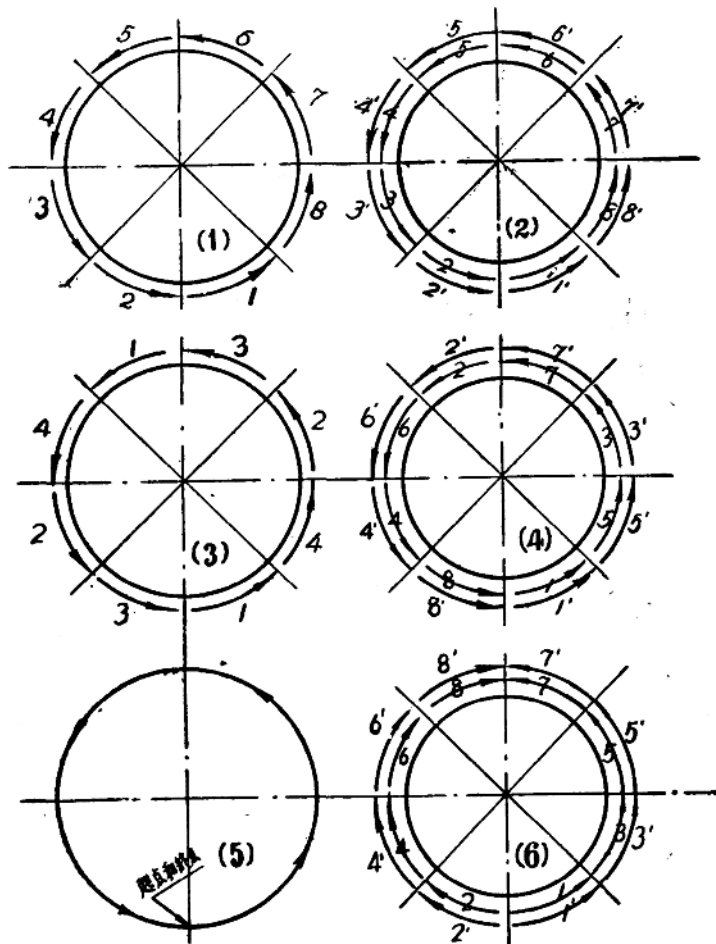
表二

圖中序號	名 称	解	類
(1)	分逆向分段鋸 條法	把一個輪箍分成約300公厘長的八段，在每一段內逐條鋸完後，再進行隣接的上一段，如此一直按圖中箭頭所指方向和序數順序，將輪緣鋸完。	
(2)	逐逆向分段鋸 條法	把一個輪箍分成約300公厘長的八段，按照圖中箭頭所指方向和序數1、2、3、4……的順序鋸完一周後，再接1'、2'、3'、4'……的順序鋸第二周。如此逐條逐周地把整個輪緣鋸完為止。	
(3)	二人逐條均 衡分段鋸法	把一個輪箍分成約300公厘長的八段，隨後兩個人按圖中箭頭所示方 向和序數順序比照逐條均衡分段鋸法進行堆鋸。	
(4)	逐均衡分段鋸 條法	把一個輪箍分成約300公厘長的八段，按照圖內各段所列序數順序 1、2、3、……8鋸完一周後，再接1'、2'、3'、……8'的順序鋸第二周；如 此逐條逐周地把整個輪緣鋸完為止。	
(5)	一次連續 鋸 條法	堆鋸輪緣時，按照圖中箭頭方向一次鋸完，不分段，不分條。	
(6)	逐條分 段鋸 條法	把一個輪箍分成約300公厘長的八段，按照圖中箭頭所指的方向和序 數1、2、3、4……的順序鋸完一周後，再接1'、2'、3'、4'……的順序鋸第 二周。如此逐條逐周地把整個輪緣鋸完為止。	

在試驗輪箍變形時，文內未註出輪箍尺寸的，均以其內徑 711 公厘、厚度 37 公厘作為標準。作硬化變質和裂紋試驗時，均先將輪緣部分用砂布打磨，經磁性探傷器檢查，若沒有裂紋和擦傷，才進行試鋸。

所用鋸條，除去輪箍變形試驗有很少部分使用了「臨一」4 公厘直徑鋸條外，文內未註明者，均为蘇聯 M93-04 牌號 4 公厘直徑的鋸條。

3. 各種堆鋸方法，如圖三所示。表二是對各種方法的解釋。



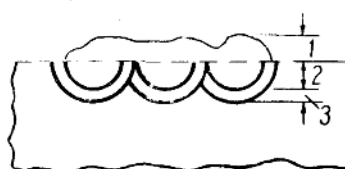
圖三 各種堆鋸方法

4. 裂紋的檢查。鋸波裂紋是將鋸波表面打磨平整後，利用交流磁性探傷器檢查記錄裂紋的大小，再根據檢查面積換算成單位面積裂紋，以公厘/10 公分<sup>2</sup>表示；並在橫、縱斷面上檢查熱影響區部分有無裂紋。

5. 硬度的檢查。利用洛氏硬度計在熱影響區部分測定，找出最高硬度。

6. 試鋸是在室溫中進行和冷卻的。

7. 穿度和熱影響區深度的檢查。利用金相



圖四 1—鋸波；2—穿度；3—熱影響區

檢查腐蝕后的樣品，以卡尺測量穿度及熱影響區的深度，如圖四所示。

### III. 試驗結果和分析

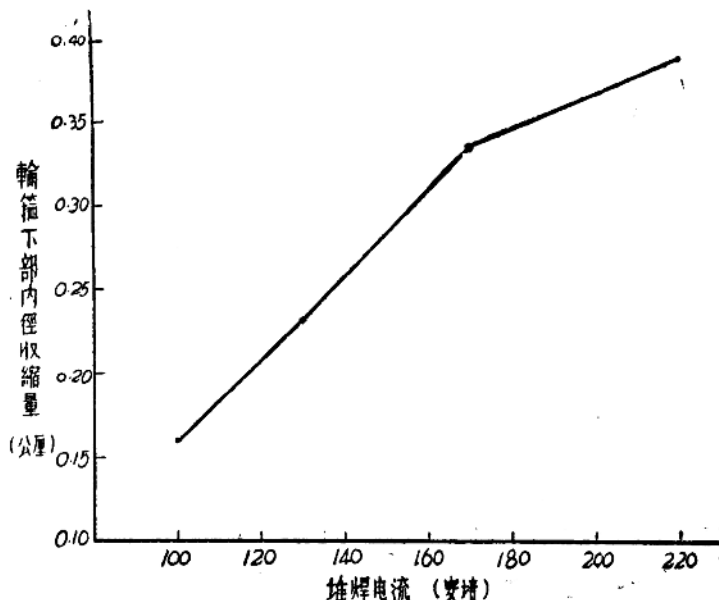
#### 一、電鋸輪緣時各種因素對於輪箍變形的影響

輪箍鑲嵌在輪心上，都要有一定程度的鑲入量，以便使輪箍牢固地鑲在輪心上。如果輪箍因輪緣電鋸產生了大的變形——收縮，也就等於大大地增加了輪箍的鑲入量而使鑲嵌應力提高。因此，輪箍因電鋸所產生的變形大小和能否使變形減輕，是一個相當重要的問題。

表三

堆鋸方法	輪箍鋸後冷卻終了時，上下內徑各平均最大變形量（公厘）			以下部內徑變形量作基準鑲入量的變動
	上部內徑	下部內徑	上下相差	
分條逆向分段鋸法	+0.061	-0.317	0.378	$44.6 \times 10^{-5}$
逐條逆向分段鋸法	+0.055	-0.272	0.327	$38.3 \times 10^{-5}$
二人逐條均衡分段鋸法	+0.163	-0.184	0.347	$26.0 \times 10^{-5}$
逐條均衡分段鋸法	+0.104	-0.160	0.264	$22.5 \times 10^{-5}$
一次連續鋸法	+0.060	-0.413	0.473	$58.0 \times 10^{-5}$
逐條對稱分段鋸法	-0.010	-0.166	0.156	$23.4 \times 10^{-5}$

附註：（1）各種堆鋸方法的堆鋸速度約為1.5公厘/秒左右；一次堆鋸約為0.5公厘/秒；  
 （2）所用電流除去一次堆鋸為170安培外，其餘均為100安培；  
 （3）表內所列「+」號為膨脹；「-」號為收縮。



圖五 电流大小和輪箍下部內徑變形量（收縮）的關係

（所用堆鋸速度為1.5公厘/秒左右；堆鋸方法為逐條均衡分段鋸法；170安培電流以下為4公厘直徑的鋸條；以上為5公厘直徑的鋸條。）

1. 各种堆鋸方法對於變形的影響。各種鋸法對於輪箍內徑平均最大變形量的影響如表三所列。

由表三可以看出，大電流一次連續鋸法（一次堆鋸）的下部內徑收縮量和上下相差為最大；以逐條均衡分段鋸法、逐條對稱分段鋸法為最小。實際上過去現場大都採用大電流的一次堆鋸，這就恰恰使輪箍產生了相當大的變形。

2. 電流大小對於輪箍變形的影響。試驗結果如圖五所示。

圖五指出，堆鋸輪箍輪緣時，如果速度一定，則電流增大時，輪箍內徑收縮量也大。因輪箍所產生的變形是與堆鋸時所加熱量的多寡和溫度分佈是否均勻有關，所加熱量多寡的調整，除去適當地控制堆鋸速度之外，則直接受着電流大小的影響。

3. 鋸波金屬量對於輪箍變形的影響。我們曾以四種不同鋸條量進行試驗，所得結果如表四。

表四

鋸條 用 量 (公斤)	輪箍鋸後冷卻終了時，上下內徑各平均最大變形量(公厘)			以下部內徑變形量作基準鑲入量的變動
	上部內徑	下部內徑	上下相差	
1.9	+0.024	-0.113	0.137	$16.0 \times 10^{-5}$
2.6	+0.053	-0.136	0.189	$19.2 \times 10^{-5}$
3.3	+0.100	-0.152	0.252	$21.5 \times 10^{-5}$
4.3	+0.074	-0.173	0.247	$24.3 \times 10^{-5}$

附註：(1) 所用堆鋸方法為逐條均衡分段；(2) 電流為 100 安培；(3) 堆鋸速度約為 1.5 公厘/秒；(4) 鋸條直徑 4 公厘。

表四說明輪箍輪緣堆鋸，如果所用鋸條量越多，也就是鋸波金屬量越多，則輪箍變形程度也越大。

4. 輪箍厚度對於變形的關係。為了找出不同輪箍厚度所產生不同變形的數據，曾利用逐條均衡分段鋸法（電流為 100 安培、堆鋸速度約為 1.5 公厘/秒）進行了試驗，其結果如表五所列。

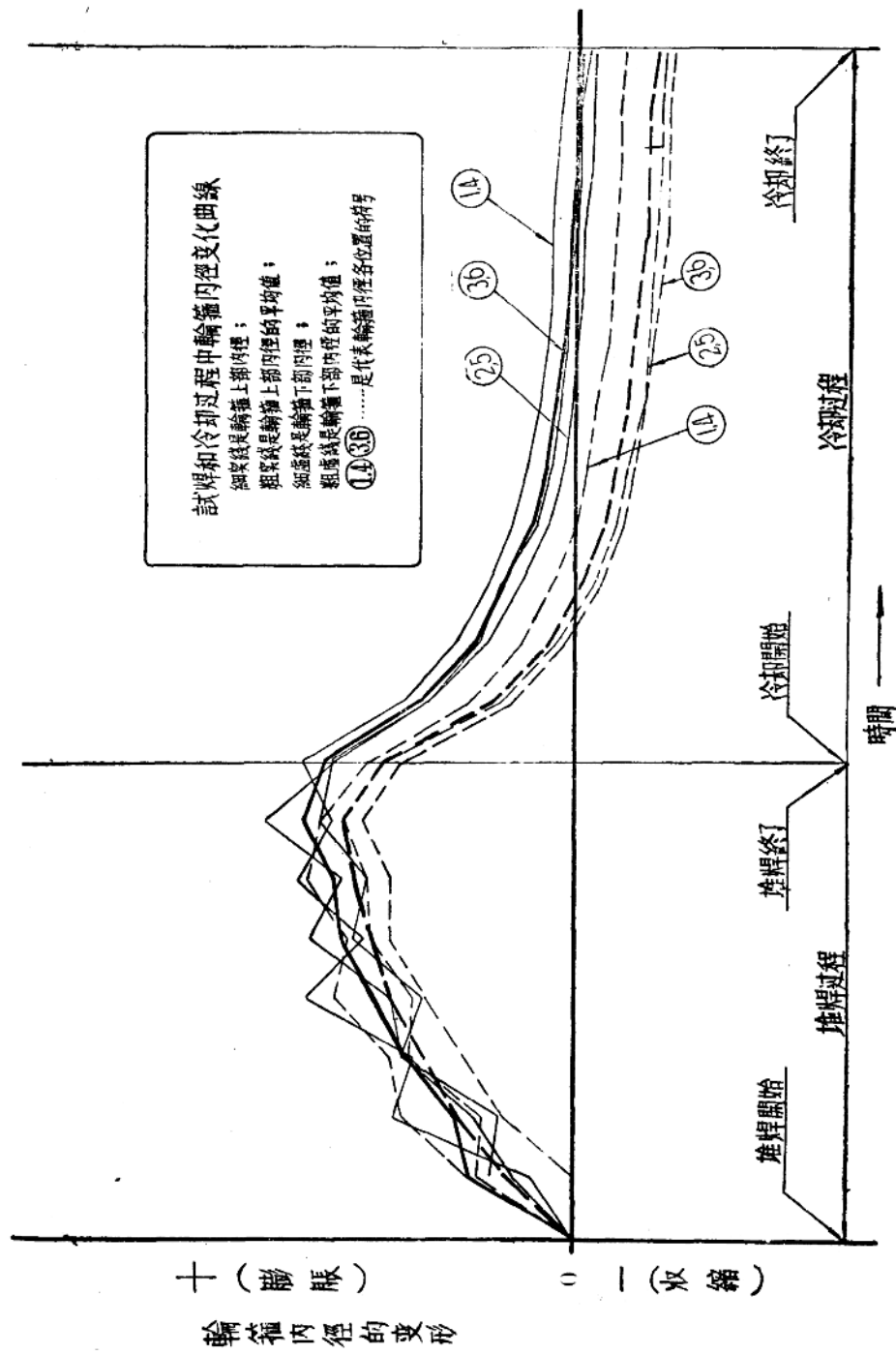
不同厚度輪箍所產生的變形量

表五

輪箍厚度 (公厘)	輪箍鋸後冷卻終了時，上下內徑各平均最大變形量(公厘)			以下部內徑變形量作基準鑲入量的變動
	上部內徑	下部內徑	上下相差	
37	+0.104	-0.160	0.264	$22.5 \times 10^{-5}$
54	+0.048	-0.129	0.177	$18.2 \times 10^{-5}$
77	+0.031	-0.032	0.063	$4.5 \times 10^{-5}$

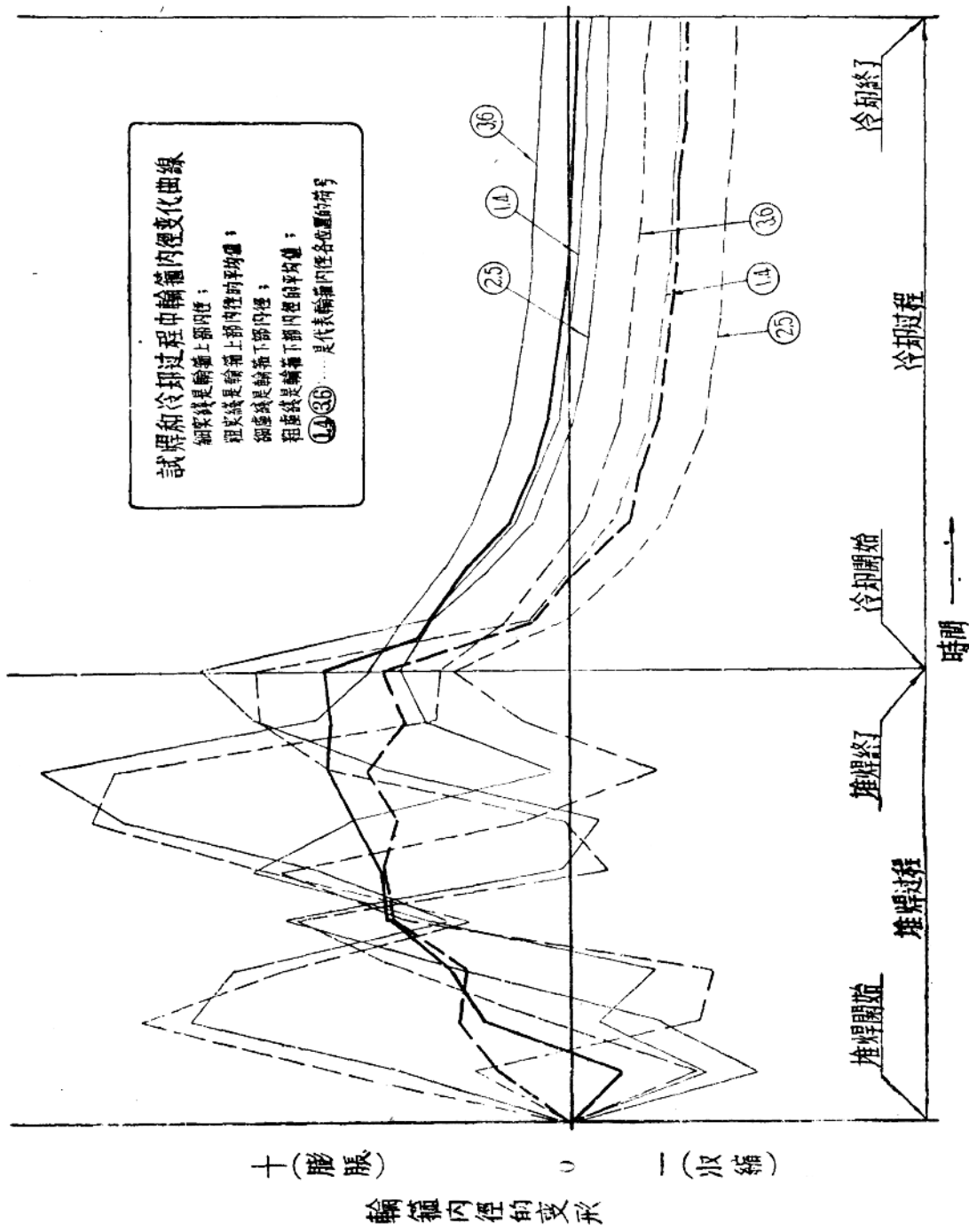
表五指出，輪箍厚度增大時，所發生的收縮量就隨之減少，例如 77 公厘厚的輪箍，如果鑲在輪心上堆鋸時，則僅增加  $\frac{0.045}{1000}$  的鑲入量。

5. 堆鋸和冷卻過程中的輪箍變形曲線。在輪箍輪緣堆鋸和鋸後冷卻過程中，輪箍內徑的變形曲線隨著堆鋸方法的不同也有差異，大致可以分成兩種類型：



圖六 均勻變化的曲線——逐條均勻分段螺旋法輪箍內徑變形曲線圖

圖七 不均勻變化的曲線——一次堆鋼錐法輪胎內徑變形曲線圖



(1) 均匀变化的曲线型式。这种曲线型式的特点，就是在堆焊过程中，整个轮箍的变形，表现为缓和的上升和下降——轮箍膨胀和收缩，——直径和直经之间变形的差别不大，如图六所示。这说明整个轮箍在轮缘堆焊时的加热是比较均匀的。前面所述的逐条均衡分段焊法和逐条对称分段焊法就属于这一类。

(2) 不均匀变化的曲线型式。这种曲线型式，是在堆焊过程中各条曲线的变化相当不一致，升降的变化很大，也就是各个轮箍内径的变形不是缓和的，而是突然的。还有和第一种型式不同之点，就是在堆焊过程中有的部分呈现收缩的变形。显然，这种加热是不均匀的。一次连续焊法（一次堆焊）就构成这种曲线，如图七所示。

## 二、各种因素和轮箍热影响区材质硬化变质的关系

从检查分析崩箍的样品和实际现场电焊轮缘情况看，轮箍热影响区都存在着一定的缺点，有的是晶粒特别粗大，有的是轮缘根部相当硬，甚至不能加工，其热影响区和穿度一般太大，这就使轮箍材质因电焊而受到了过多的损伤，对整个轮箍来讲是相当不利的。

电焊轮箍是一种高碳钢的堆焊，它所要求的是轮箍材质在电焊热影响的最小限度下，堆焊上一层耐磨金属。因之，在目的和施焊条件上，都和低碳钢焊接有所不同。

从高碳钢的性质上来说，当其热到变态温度以上的范围时，可以依冷却速度的不同而生成各种变态组织，因为加热时间的长短和温度的高低，可以改变其晶粒的大小等。这种冷却速度和加热时间的长短等，可以因电焊条件不同而有所差别。我们所进行的试验就是企图改变电焊条件来控制和调节热影响区的组织和晶粒、穿度、热影响区的大小。

表六

电 流 (安培)	速 度 (公厘/秒)	热影响区最高硬度 ( $R_c$ )	热影响区和穿度的深度 (公厘)
90	0.4	37.5	6
90	1.0	41.0	5.0
90	2.6	50.0	3.1
90	3.6	58.0	2.2
110	0.4	41.0	6.8
110	1.0	43.0	6.0
110	2.1	54.5	4.7
130	0.6	34.0	12.1
130	1.1	40.5	4.9
130	2.0	45.3	4.7
130	3.1	57.5	4.5
150	1.0	40.3	8.4
150	1.5	43.0	5.9
150	2.0	44.5	5.8
150	3.0	55.0	5.5
170	0.5	38.0	14.1
170	2.1	42.5	6.2
170	3.0	49.0	6.0

### 热影响区因堆焊电流和速度的不同所產生的差別（堆焊方法为三条並列）

1. 堆焊速度對於輪箍材質硬化變質的影响。在我們所試各種堆焊速度的範圍內，如果堆焊速度快，則硬化程度加大，即熱影響區中的硬度高，反之就低，如表六所列。

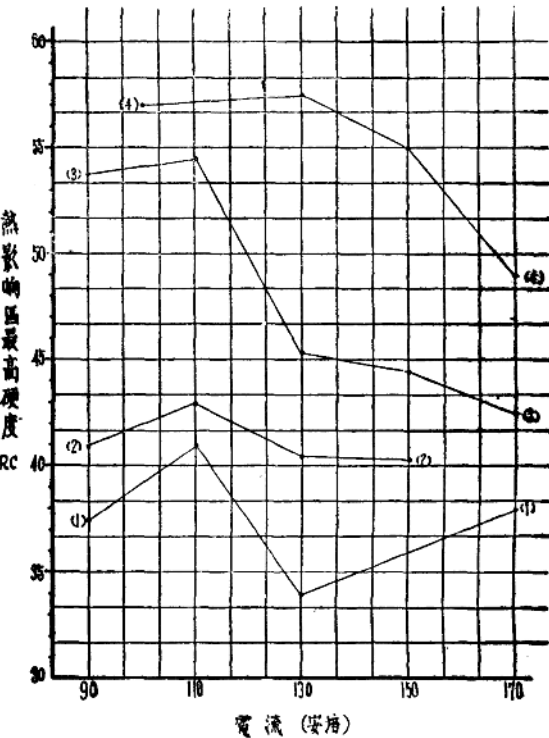
2. 堆焊电流對於輪箍材質硬化變質的影响。如圖八所示，在小电流時，慢速度和快速度的硬化差別較大；當大电流時，因熱量較多，則快速度和慢速度對於熱影響區的硬化差別較小。

3. 堆焊电流和速度對於熱影響區及穿度深淺的影响。速度越慢，电流越大，則熱影響區和穿度也越大，反之則越窄，如表六。

4. 堆焊电流和速度對於金屬組織的影响。以慢速度堆焊，大电流主要生成索比體和珠光體，小电流主要生成屈氏體和索比體；以快速度堆焊，則主要生成馬金體和屈氏體，不過馬金體和屈氏體兩者所佔的比例，大电流與小电流有着差別。一般來看，快速度、小电流則得到較細的組織；慢速度、大电流則容易引起晶粒長大的現象。根據我們檢驗的結果，熱影響區晶粒最大的為1~2級，最小的為7~8級。

錫波組織一般為柱狀組織，夾有魏氏組織。若以慢速度施錫，雖然也略有些鑄造組織，但魏氏組織特別嚴重。快速度一般產生較細的柱狀組織，魏氏組織不顯著，如加大电流，則柱狀組織、魏氏組織都變粗大。

以上這些試驗結果，說明高碳鋼堆焊時，熱影響區材質硬化變質的程度和所應用的堆焊电流和速度有着極大的關係。

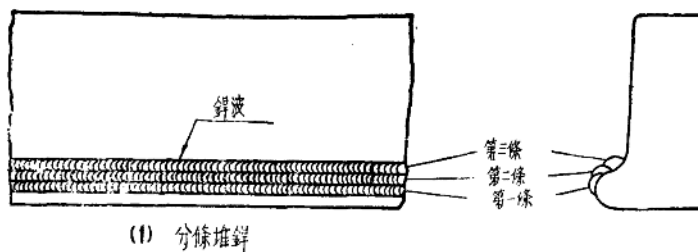


圖八 曲線(1)的速度約0.5公厘/秒；  
(2)的速度約1.0公厘/秒；  
(3)的速度約2.0公厘/秒；  
(4)的速度約3.0公厘/秒

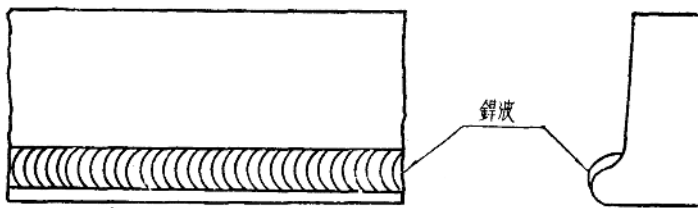
### 各种堆焊方法對於輪箍材質硬化變質的影響

1. 分條堆焊和一次堆焊方法的比較。堆焊方法如圖九所示。其試驗結果如下：

i) 热影响区硬度。在分條堆焊時，如果电流一定，則堆焊速度越快，熱影響區硬化程度越大，亦即最高硬度越高，如圖十所示。至於一次堆焊，在速度方面是沒有顯著之分，換句話也就是都要用慢速度才能一次錫成，不過只是大电流比小电流時要快一些。表七所示為一次堆焊熱影響區硬化的情況。由表中可以看到，不論是大电流和小电流，對於熱影響區硬化程度都沒有顯著的區別，約在  $R_c 31 \sim 36.5$  的範圍內。

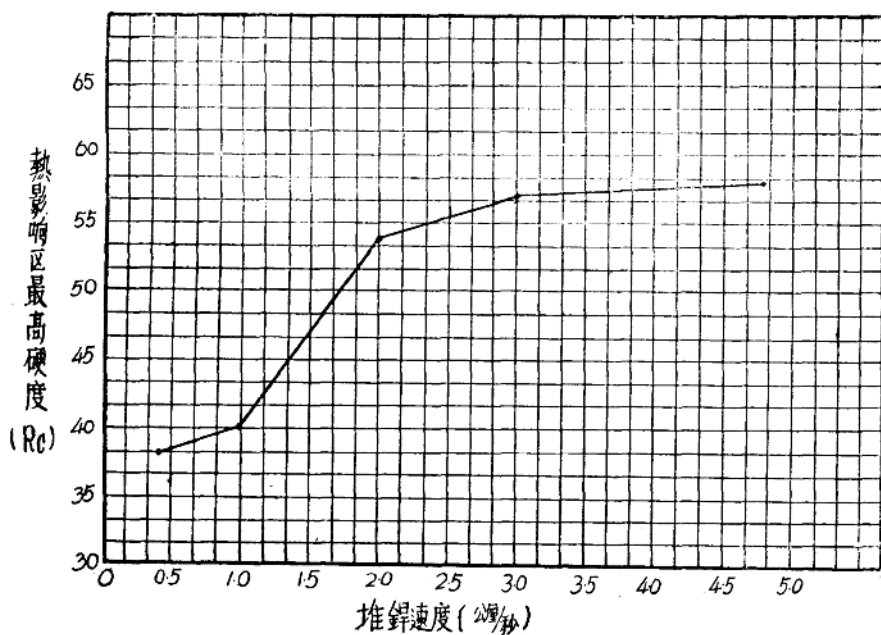


(1) 分條堆焊



(2) 一次堆焊

圖九 分條堆焊和一次堆焊的情况



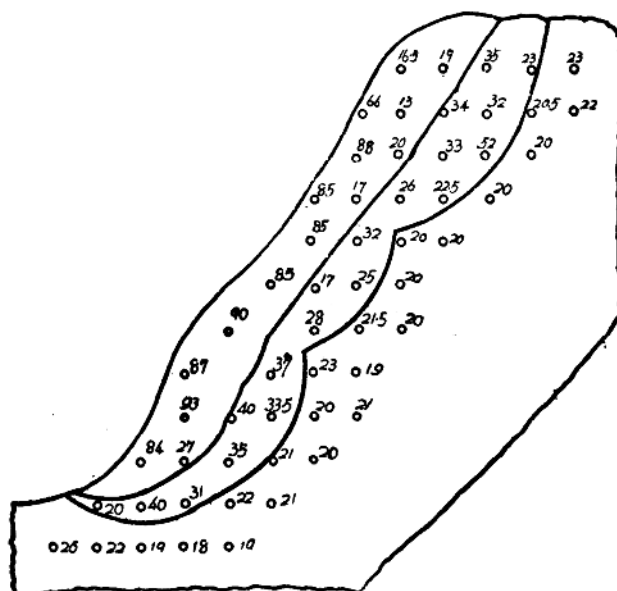
圖十 分条堆焊时各种堆焊速度对於热影响区硬化的影响 (电流为100安培)

## 一次堆錫对於热影响区硬化的影响

表七

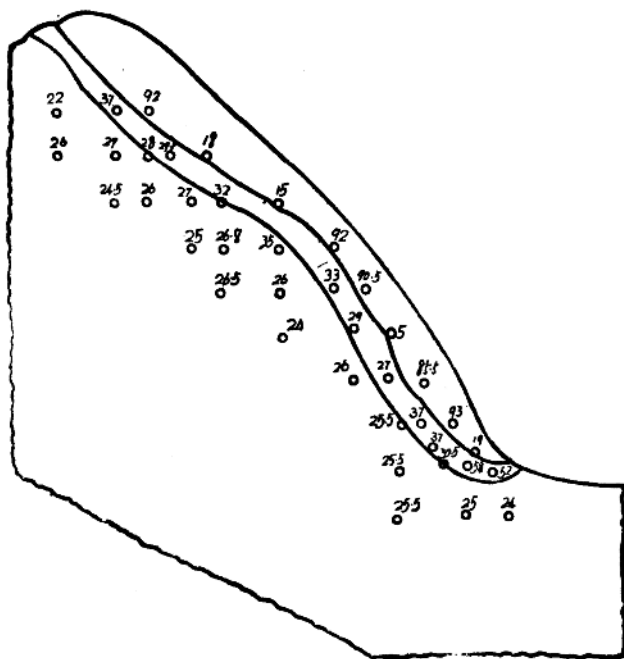
堆錫电流 (安培)	堆錫速度 (公厘/秒)	热影响区最高硬度 ( $R_c$ )
90	0.23	32
100	0.41	31
110	0.21	32
120	0.39	36
130	0.59	36.5
150	0.51	33.5
170	0.53	34

圖十一、十二、十三是分条堆錫和一次堆錫热影响区硬度分佈圖。由圖中可以看到，当分条堆錫时，不論是快速度和慢速度，在热影响区中硬度最高的地方均为輪緣根部，当电流为 100 安培，堆錫速度为 4.8 公厘/秒时，輪緣根部最高硬度为  $R_c 58$ ；如果电流相同，堆錫速度为 1.1 公厘/秒，则輪緣根部最高硬度为  $R_c 40$ 。所以產生这种情况的原因，主要是由於分条堆錫时，最后一条錫波未能得到回火的机会。一次堆錫硬度分佈則大抵相差不多。



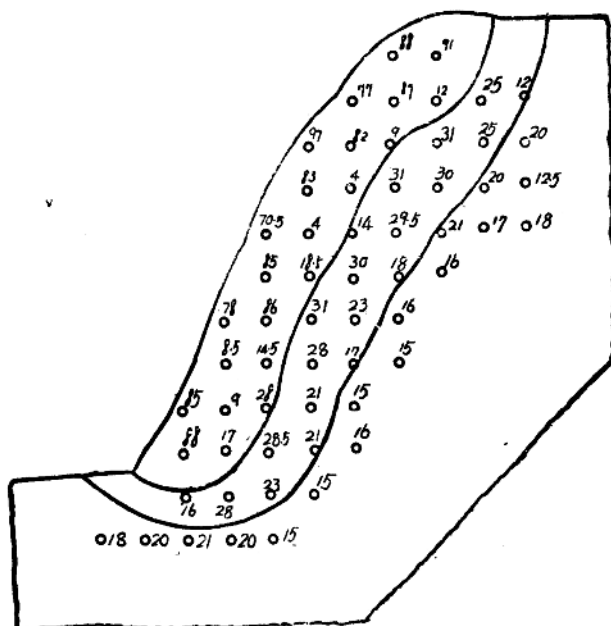
圖十一 分条堆錫热影响区硬度分佈圖

〔电流为 100 安培；堆錫速度为 1.1 公厘/秒；热影响区最高硬度为  $R_c 40$  (66 以上为  $R$ ) 〕



圖十二 分条堆焊热影响区硬度分佈圖

〔电流为 100 安培；堆焊速度为 4.8 公厘/秒；最高硬度为  $R_c 58$  ( $85.5$  以上为  $R_B$ ) 〕



圖十三 一次堆焊热影响区硬度分佈圖

〔电流为 100 安培；堆焊速度为 0.3 公厘/秒；最高硬度为  $R_c 31$  ( $70$  以上为  $R_B$ ) 〕

ii ) 热影响区的组织和晶粒。 分条堆焊和一次堆焊在热影响区组织和晶粒大小上也

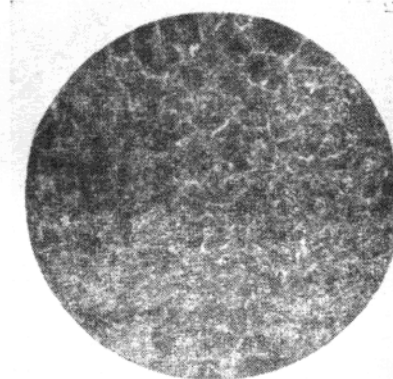
有着相当的差別。分条堆焊时，在最后焊波的下部多为索比体、屈氏体或馬金体的組織，視堆焊速度而定；而一次堆焊时，一般則為細珠光体。

热影响区的晶粒，分条堆焊时一般为5~6級，如圖十四所示；而一次堆焊则一般为1~3級（用大电流时較用小电流时晶粒为大）。圖十五为100安培电流，圖十六为170安培电流一次堆焊热影响区的晶粒。

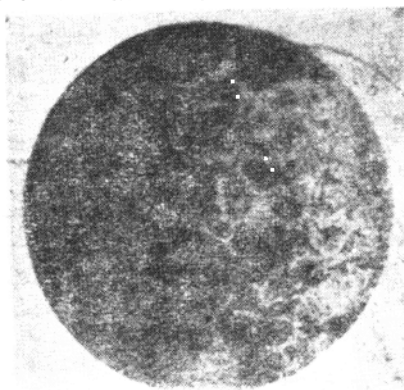
iii) 焊波組織。一次堆焊焊波的組織大部分是柱狀組織和魏氏組織，只有少量的純鐵体和珠光体。分条堆焊的焊波内部，純鐵体和珠光体的数量比一次堆焊为多，而柱狀組織和魏氏組織則比一次堆焊为少。

綜合上述，一次堆焊和分条堆焊对於材質硬化变質的影响，在分条堆焊时除去輪緣根部的硬度随着堆焊速度的加大而昇高外，其他各項，例如热影响区晶粒和焊波組織都是較一次堆焊优良。

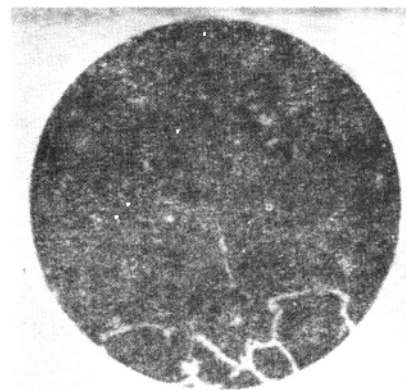
2. 分条分層焊。从上面結果中，我們已了解到在分条堆焊时，热影响区硬度分佈不均匀，而以輪緣根部硬度最高。如果利用分条分層焊，就可以避免这种現象。



圖十四 分条堆焊时热影响区晶粒  
(6級, x100; 电流为100安培;  
堆焊速度1公厘/秒)



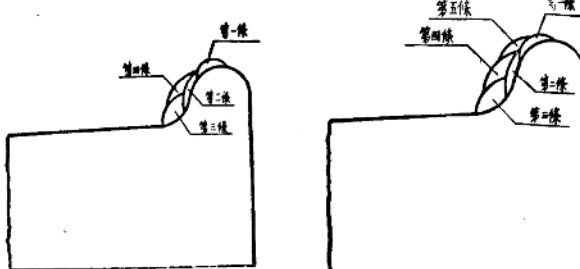
圖十五 一次堆焊热影响区晶粒  
(3級, x100)



圖十六 一次堆焊热影响区晶粒  
(1級, x100)

所謂分条分層焊（圖十七），就是在堆焊輪緣时，於最后一条焊波上，加上一条焊波或於整个焊波上再加焊薄薄一层。換句話，也就是实行分層。其試驗結果如圖十八所示。

由圖十八的热影响区硬度分佈圖看來，比分条堆焊时最高硬度为低（參閱圖十一）。分



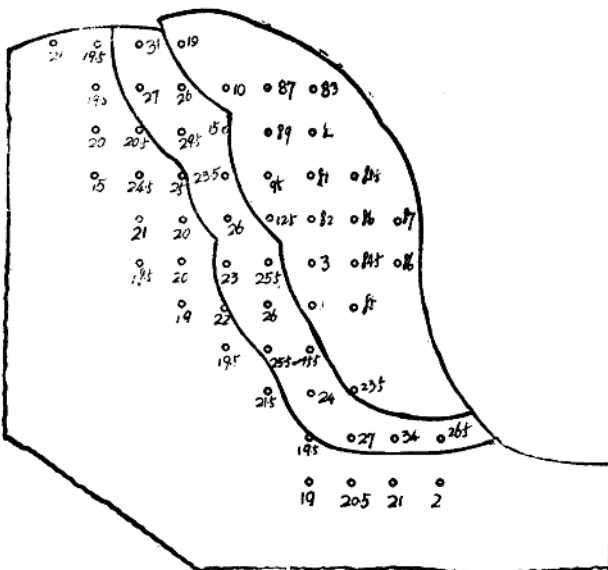
圖十七 分条分層焊的焊法

条堆焊当电流为100安培，速度为1.1公厘/秒时，热影响区最高硬度为 $R_C 40$ ，但在同样电流和速度实行分条分层焊时，则 $R_C$ 为34。这是就最高硬度而言，至于整个热影响区的硬度，分条分层焊也比分条堆焊要低。图十九就是两种焊法热影响区硬度的比较图。

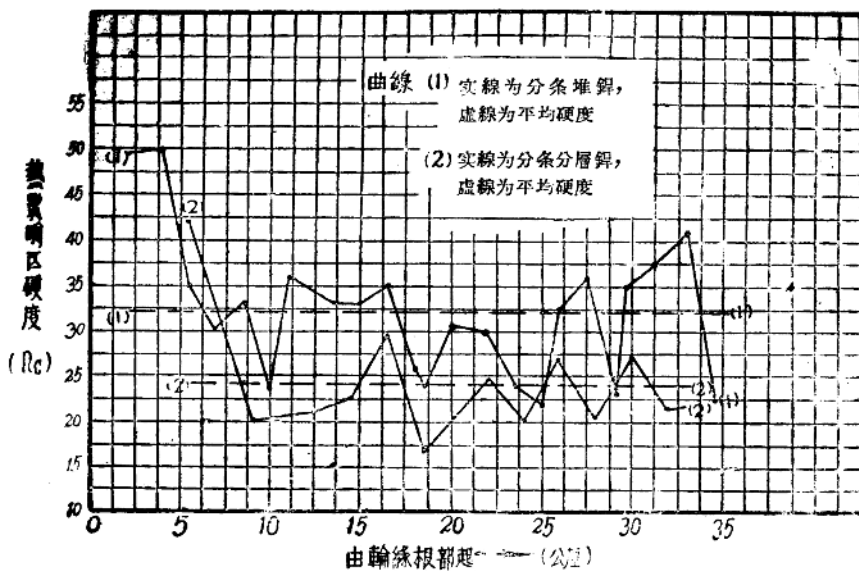
但应注意的是不论加一条或把整个焊波盖满，第二层焊波都不应接触到基本金属，以防止新的硬点产生。

### 3. 各种焊法的比较。

图二十所示是应用各种电流实行分条分层焊和分条堆焊热影响区最高硬度的比较图，其中以分条分层焊时为低。

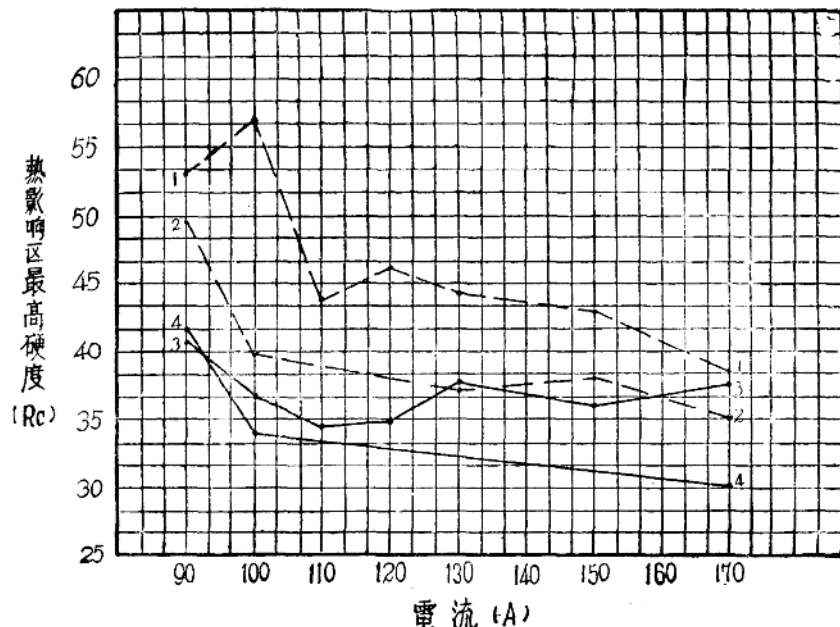


圖十八 分条分層焊热影响区硬度分佈圖  
〔电流100安培；堆焊速度为1.1公厘/秒；  
热影响区最高硬度为 $R_C 34$ (31以上为 $R_B$ )〕

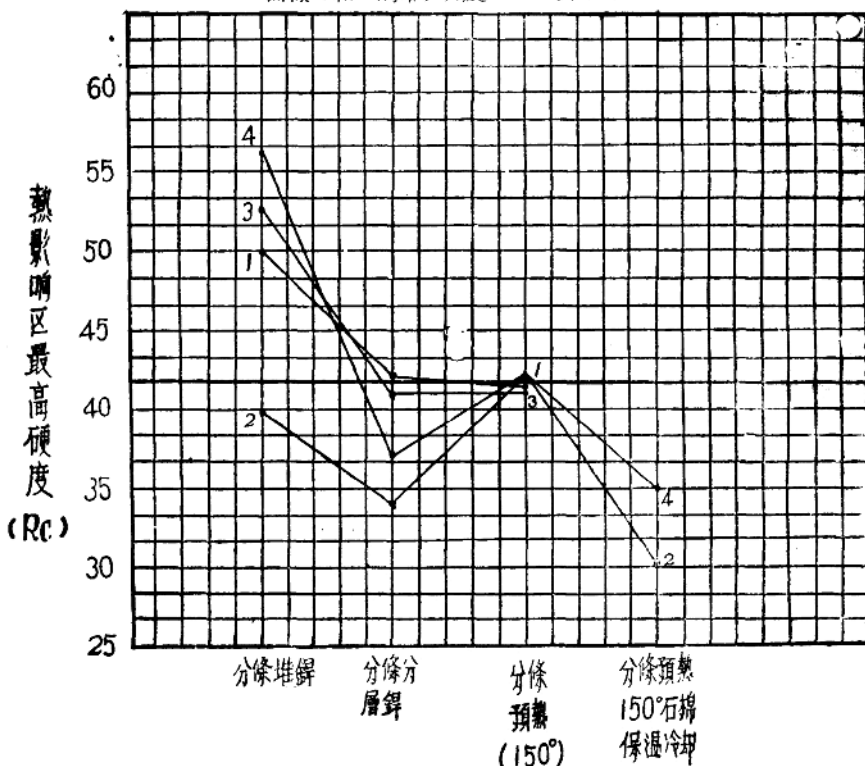


圖十九 分条分層焊和分条堆焊热影响区硬度比較圖  
(堆焊电流100安培；堆焊速度1.1公厘/秒；分条分層焊热影响区平均硬度为 $R_C 24$ ，分条堆焊时为 $R_C 32$ )

图二十一是四种焊法的比较，即分条堆焊法，分条分层焊法，分条予热150°C的焊法，分条予热150°C并予焊后用石棉埋起冷却焊法(以下简称分条予热保温)。由图中可以看出，热影响区的最高硬度以分条堆焊法为最高，分条予热保温最低，而分条予热150°C则几乎



圖二-十 各種電流分條分層鍛和分條堆鍛熱影響區最高硬度比較圖  
實線——分條分層鍛；虛線——分條堆鍛；曲線1和3的堆鍛速度約為2公厘/秒；  
曲線2和4的堆鍛速度約為1公厘/秒



圖二-十一 各種鍛法對熱影響區中最高硬度的影響  
曲線1——電流 90安培，速度約1.0公厘/秒； 2——電流100安培，速度約1.0公厘/秒；  
3——電流 90安培，速度約2.0公厘/秒； 4——電流100安培，速度約2.0公厘/秒